

# ORIGINAL ARTICLE

## ***Genotyping of Giardia Duodenalis Isolates in Individuals with and without Chronic Diarrhea Using Polymerase Chain Reaction***

Koroush Manouchehri Naeini<sup>1</sup>,  
 Seyed Abdollah Hosseini<sup>2</sup>,  
 Abolfazl Gholipour<sup>3</sup>,  
 Zahra Babaei<sup>1</sup>,  
 Simin Taghipoor

<sup>1</sup> Department of Parasitology, Mycology and Entomology, Faculty of Medicine, Shahrekord University of Medical Sciences, Shahrekord, Iran

<sup>2</sup> Department of Microbiology and Immunology, Faculty of Medicine, Shahrekord University of Medical Sciences, Shahrekord, Iran

<sup>3</sup> Department of Parasitology and Mycology, Faculty of Medicine, Shahid Bahonar University of Medical Sciences, Kerman, Iran

(Received, August 1, 2012; Accepted, November 28, 2012)

### **Abstract**

**Background and purpose:** *Giardia* cyst and trophozoite have invariant morphologies, therefore, investigating aspects such as host specificity, transmission patterns and clinical behavior of the parasite in hosts requires molecular characterization of the parasites isolated from clinical samples. The aim of this study was to characterize giardiasis isolated from human fecal samples with symptomatic (with a history of chronic diarrhea) and asymptomatic giardiasis and investigating the correlation of parasite's assemblage with diarrhea.

**Materials and methods:** Thirty one fecal samples containing *Giardia* cysts from individuals with symptomatic and asymptomatic giardiasis were used to characterize the parasites' genotype. Triose Phosphate Isomerase (TPI) gene was amplified by polymerase chain Reaction (PCR). Demographic information was recorded using a questionnaire and SPSS ver.16 and Fisher's exact test were applied to analyse the data.

**Results:** PCR showed a higher frequency of *Giardia duodenalis* assemblage B compared with assemblage A (51.6% vs. 35.5%). However, the frequency of *Giardia duodenalis* assemblage A in symptomatic giardiasis was significantly higher than that of the asymptomatic giardiasis (62.5% vs. 18.75%). The Fisher's exact test revealed a significant correlation between *Giardia duodenalis* assemblage A and diarrhea ( $p<0.005$ ).

**Conclusion:** Usually, *duodenalis* assemblage A is accompanied by clinical symptoms such as diarrhea. However, *duodenalis* assemblage B is more prevalent among those with diarrhea.

**Keywords:** *Giardia duodenalis*, TPI gene, PCR, diarrhea

J Mazand Univ Med Sci 2012; 22(95): 39-46 (Persian).

## بررسی ژنوتیپ های ژیارديا دئودنالیس در مبتلایان به ژیارديازیس همراه و بدون اسهال مزمن مراجعه کننده به آزمایشگاه های شهرکرد با استفاده از روش واکنش زنجیره ای پلی مراز

کورش منوچهری نائینی<sup>۱</sup>

سید عبدالله حسینی<sup>۱</sup>

ابوالفضل قلی پور<sup>۲</sup>

زهره بابایی<sup>۳</sup>

سیمین تقی پور<sup>۱</sup>

### چکیده

**سابقه و هدف:** با توجه به ریخت شناسی نسبتاً یکنواخت کیست و تروفوزوایت ژیارديا در میزبان، بررسی ویژگی میزبانی، الگوهای انتقال و رفتار بالینی انگل در میزبان نیازمند تعیین هویت ژنتیکی انگل‌های جدا شده از نمونه‌های کلینیکی است. هدف از این تحقیق تعیین ژنوتیپ ژیاردياهای جدا شده از نمونه‌های مدفوع مبتلایان به ژیارديازیس با سابقه اسهال مزمن و مبتلایان بدون سابقه اسهال مزمن و بررسی ارتباط ژنوتیپ‌های انگل با این نشانه بالینی بود.

**مواد و روش ها:** ۳۱ نمونه مدفوع پس از تغییط و جداسازی کیست‌های ژیارديا به منظور تعیین ژنوتیپ انگل توسط ژن تریوز فسفات ایزو مراز و با استفاده از روش واکنش زنجیره‌ای پلی مراز تکثیر شد. اطلاعات دموگرافی مبتلایان در پرسشنامه‌ای ثبت، پردازش و تجزیه و تحلیل نتایج با استفاده از روش‌های آماری انجام گرفت.

**یافته‌ها:** آزمایش PCR نشان داد که در مبتلایان فراوانی ژنوتیپ B ژیارديا دئودنالیس در مقایسه با ژنوتیپ A آن بیشتر است (۵۱/۶ درصد در مقابل ۳۵/۵ درصد). با این حال، فراوانی ژنوتیپ A انگل در بین مبتلایان به اسهال در مقایسه با مبتلایان بدون علامت به طور آشکاری بیشتر بود. ۶۲/۵ درصد در مقابل ۱۸/۷۵ درصد. آزمون دقیق فیشر نشان داد که در مبتلایان به ژیارديازیس بین اسهال و ژنوتیپ A انگل و عفونت‌های بدون علامت و ژنوتیپ B آن همبستگی آماری آشکاری وجود دارد ( $p < 0.05$ ).

**استنتاج:** با توجه به نتایج حاصل از تحقیق حاضر اگر چه غالباً ژنوتیپ A ژیارديا دئودنالیس با نشانه‌های بالینی از قبیل اسهال همراه است اما به طور کلی به نظر می‌رسد در مبتلایان به ژیارديازیس ژنوتیپ B انگل در مقایسه با ژنوتیپ A از فراوانی بیشتری برخوردار باشد.

**واژه‌های کلیدی:** ژیارديا دئودنالیس، ژن تریوز فسفات ایزو مراز، ژنوتیپ، اسهال

### مقدمه

ژیارديا یک جنس از تاژرک داران روده‌ای است می‌نماید(۱). از زمان کشف این تک یاخته تاژرک دار در سال ۱۶۸۱ توسط آتنونی ون لیون هوک تاکنون این

که طیف وسیعی از میزبانان مهره‌دار را آلوده

E-mail: K\_manouchehri@yahoo.com

مؤلف مسئول: کورش منوچهری نائینی - شهرکرد: رحمتیه، دانشکده پزشکی، گروه انگل شناسی، قارچ شناسی و حشره شناسی

۱. گروه انگل شناسی، قارچ شناسی و حشره شناسی، دانشکده پزشکی، دانشگاه علوم پزشکی شهرکرد

۲. گروه میکروب شناسی و ایمنی شناسی، دانشکده پزشکی، دانشگاه علوم پزشکی شهرکرد

۳. گروه انگل شناسی و قارچ شناسی، دانشکده پزشکی، دانشگاه علوم پزشکی شهید باهنر کرمان

تاریخ دریافت: ۹۱/۵/۱۱ تاریخ ارجاع جهت اصلاحات: ۹۱/۶/۱۹ تاریخ تصویب: ۹۱/۹/۸

این اساس تصور گردید که احتمالاً الگوی انتشار ژنوتیپ‌های انگل و تأثیر آن بر عالیم عفونت با در مناطق مختلف جغرافیایی با یکدیگر متفاوت باشد. از سوی دیگر به رغم کاهش چشمگیر شیوع عفونت‌های انگلی هنوز هم ژیارديا زیس از شایع‌ترین علل بیماری‌های اسهالی در این منطقه محسوب می‌شود. بنابراین مطالعه توصیفی- تحلیلی حاضر با هدف تعیین ژنوتیپ‌های مختلف ژیارديا دئودنالیس در مبتلایان به ژیارديا زیس همراه و بدون اسهال مزمن در شهرستان شهرکرد در سال ۱۳۹۰- ۱۳۹۱ مقایسه ارتباط ژنوتیپ‌های موجود با اسهال مزمن به عنوان یکی از شایع‌ترین پیامدهای ژیارديا زیس در مقایسه با مبتلایان بدون اسهال مزمن انجام گرفت.

## مواد و روش‌ها

انتخاب و جمع آوری نمونه‌ها در این مطالعه توصیفی- تحلیلی نمونه‌های مدفوع بیش از ۹۰ نفر از مبتلایان به ژیارديا زیس که برای تشخیص بیماری و یا معاینات دوره‌ای به آزمایشگاه‌های تشخیص پزشکی شهرستان شهرکرد مراجعه نموده بودند وجود انگل در مدفوع آنها مورد تأیید قرار گرفته بود با استفاده از روش نمونه‌گیری آسان جمع آوری و برای انجام مراحل بعدی تحقیق به آزمایشگاه تحقیقاتی گروه انگل‌شناسی و قارچ‌شناسی دانشکده پزشکی شهرکرد منتقال یافت. سپس اطلاعات دموگرافیک مورد نیاز و اطلاعات مربوط به نشانه‌های احتمالی عفونت از طریق تماس و مصاحبه با مبتلایان جمع آوری و در پرسشنامه‌های مربوطه ثبت گردید. در نهایت پس از تقسیم مبتلایان به دو گروه علامت دار (با سابقه‌ای از اسهال مزمن) و فاقد علامت، تعداد ۳۱ نمونه که در آن تعداد کیست‌های انگل برای مطالعات مولکولی مناسب به نظر می‌رسید، انتخاب شد.

آزمایش میکروسکوپی و جداسازی انگل از نمونه‌ها برای اطمینان از وجود انگل و انتخاب نمونه‌های پر

انگل از طیف وسیعی از پستانداران، پرندگان، خزندگان و دوزیستان جدا شده است که امروزه بسیاری از آن‌ها به عنوان مخازن مهم عفونت‌های انسانی مورد توجه قرار گرفته‌اند. اگر چه در گذشته بیش از ۵۰ گونه از ژیارديا توصیف شده بود<sup>(۲)</sup>، اما امروزه به کارگیری فناوری‌های نوین مولکولی موجب گردیده تا تغییرات قابل ملاحظه‌ای در طبقه‌بندی و ویژگی میزبانی این انگل رخ دهد، به طوری که در حال حاضر با مشخص شدن ویژگی‌های میزبانی انگل شک ژنوتیپیک بودن عفونت ناشی از آن بیشتر تقویت شده است<sup>(۲)</sup>.

ژیارديا لامبیا یکی از شایع‌ترین تک یاخته‌های انگلی روده‌ای انسان با انتشاری جهانی است، به طوری که شیوع جهانی آن از ۲۰-۶۰ درصد و میزان بروز آن در کشورهای صنعتی از ۲-۷ درصد و در ایران از ۱۹ تا ۲۲ درصد تخمین زده می‌شود<sup>(۳)</sup>. این انگل تک یاخته‌ای می‌تواند در انسان طیف بالینی گسترده‌ای از عفونت‌ها، از عفونت‌های بدون علامت تا اسهال شدید و یا سدرمی از اسهال مزمن، کاهش وزن و سوء جذب را ایجاد کند. شواهد موجود نشان می‌دهد اگر چه ممکن است اعضای مجموعه گونه‌ای ژیارديا دئودنالیس از نظر ریخت‌شناسی با یکدیگر تفاوت اندکی داشته باشند اما براساس ویژگی‌های ژنتیکی می‌توان اعضای این گونه را حداقل به هفت جمعیت ژنتیکی یا ژنوتیپ از A تا G تقسیم نمود<sup>(۴)</sup>. بررسی‌های مولکولی انجام شده بر روی ژن‌های مختلفی از قبیل گلوتامات دهیدروژناز، بتا ژیاردين، تحت واحد کوچک RNA ریبوزومی و تریوز فسفات ایزومراز در انسان و حیوانات نشان داده‌اند که از بین ژنوتیپ‌های مختلف این انگل عمده‌تاً دو ژنوتیپ اصلی A و B در ایجاد عفونت‌های انسانی دخالت دارند<sup>(۵-۷)</sup>، اما این که آیا نشانه‌های بالینی از قبیل اسهال با ژنوتیپ خاصی از این انگل در ارتباط است موضوعی است که تاکنون مورد بررسی چندانی قرار نگرفته و در این زمینه نتایج برخی مطالعات انجام شده در مناطق مختلف با یکدیگر متفاوت و گاه متناقض است<sup>(۹،۸)</sup>. بر

استخراج DNA/زکیست های انگل ابتدا برای خروج از انجام داد نمونه ها، میکروتیوب های حاوی سوسپانسیون کیست های انگل به مدت ۳۰ دقیقه در دمای آزمایشگاه قرار داده شد. سپس نمونه ها دو بار با آب مقطر دوبار تقطیر شستشو داده شد و با اضافه نمودن تعدادی گلوله شیشه ای ۵۲۰-۴۵۰ میکرونی (Glass beads) و ۵۰۰ میکرو لیتر با فر لیز کننده به میکروتیوب ها و با کمک ورتكس نمودن به مدت ۸ دقیقه دیواره کیست ها خرد گردید. در این مرحله به هریک از نمونه ها ۱۵ میکرو لیتر پروتئیناز K و ۴۲ میکرو لیتر سدیم دو دسیل سولفات ۱ درصد اضافه شد و نمونه ها به مدت ۱۶ ساعت در بن ماری ۵۵°C قرار داده شدند. سر انجام استخراج DNA انگل (QIAgen, Company) با توجه به دستورالعمل کیت (QIAamp DNA Stool-Mini Kit QIAamp DNA Stool-Mini Kit) انجام پذیرفت و استخراج شده تا زمان انجام آزمایش PCR DNA فریزر ۲۰°C-نگهداری گردید.

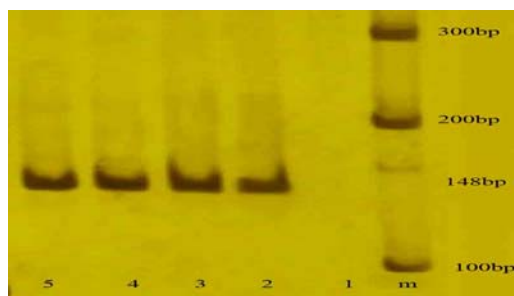
#### آزمایش PCR

با توجه به حساسیت بسیار بالای ژن تریوژ فسفات ایزومراز با انجام آزمایش PCR دو ژن A، B، آنزیم تریوژ فسفات ایزومراز (TPI-A و TPI-B) انگل ژیاردهای تکثیر گردید. برای تعیین ژنوتیپ A ژیاردهای، قطعه ۱۴۸ جفت بازی با پرایمر رفت (بالا دست) ۳'-GGAGACCGACGAGCAAAGC-۵' و پرایمر برگشت (پایین دست) ۵'-CTTGCCAAGCGCCTCAA-۳' و برای تعیین ژنوتیپ B آن قطعه ۸۱ جفت ۵'-AATAGCAGCACARAACGTGTATCTG-۳' و پرایمر برگشت (پایین دست) ۵'-CCCATGTCCAGCAGCATC-۳' گردید(۱۱،۱۲). پس از بهینه سازی شرایط تکثیر ژن PCR، واکنش PCR در حجم نهایی ۲۵ میکرو لیتر TPI-A

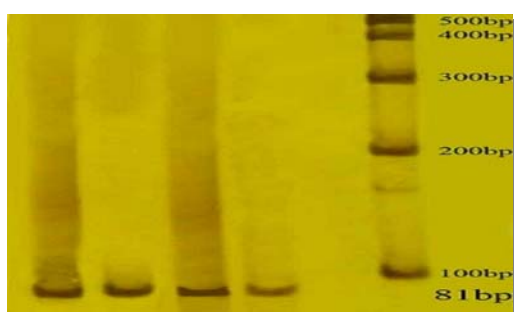
انگل جهت انجام آزمایش های مولکولی، ابتدا کلیه نمونه ها با استفاده از روش لام مرتبط مستقیم مورد آزمایش میکروسکوپی قرار گرفت. پس از تأیید مجدد آلدگی، چنانچه در پنج میدان میکروسکوپی با عدسی شی  $X_{40}$  به طور متوسط ۵-۱۰ کیست انگل وجود داشت نمونه برای جدا سازی کیست های انگل از نمونه های مدفوع، پس از تهیه سوسپانسیون مدفوعی و عبور دادن آن از گاز مرتبط دو لایه، پالیده به لوله های آزمایش منتقل و به مدت ۲ دقیقه در  $X_{500}$  g سانتریفیوژ شد. برای بدست آوردن نمونه ای مناسب، به رسوب باقیمانده در هر لوله ۵ میلی لیتر آب مقطر اضافه شده، مجددآ نمونه ها دو بار با شرایط فوق سانتریفیوژ گردیدند. سپس ۳ میلی لیتر محلول سوکروز ۸۵ درصد مولار سرد در یک لوله سانتریفیوژ ریخته، به آرامی ۳ میلی لیتر از سوسپانسیون مدفوعی تهیه شده به آن اضافه گردید. به طوری که دو لایه سوسپانسیون مدفوعی و سوکروز از یکدیگر قابل تمایز بودند. در مرحله بعد لوله های حاوی سوسپانسیون مدفوعی و محلول سوکروز به سانتریفیوژ یخچال دار منتقل و به مدت ۱۰ دقیقه در دمای ۴°C در  $X_{600}$  g سانتریفیوژ گردیدند. در این مرحله کیست های انگل که در یک لایه یا حلقه غباری میانی متراکم شده بودند با استفاده از پیپت پاستور تخلیه و به لوله دیگری انتقال یافته، پس از سانتریفیوژ به مدت ۵ دقیقه در  $X_{500}$  g دور ریخته شد. سپس برای شستشو و خارج نمودن سوکروز اضافه از محیط به رسوب باقیمانده در هر لوله ۵ میلی لیتر آب مقطر اضافه و مجددآ لوله های حاوی کیست انگل دو بار و هر بار به مدت ۵ دقیقه با شرایط فوق سانتریفیوژ گردید. سرانجام به رسوب باقیمانده ۱ میلی لیتر آب مقطر اضافه شده، پس از مخلوط نمودن کامل محتوای لوله ها، نمونه های حاوی کیست انگل به میکروتیوب های مخصوص منتقل و تا زمان انجام آزمایش های مولکولی در دمای ۲۰°C-نگهداری شدند(۱۰).

## یافته ها

در این مطالعه از ۳۱ فرد مبتلا به ژیاردیازیس ۱۹ نفر مرد (۶۱/۳) و ۱۲ نفر زن (۳۸/۷ درصد) بودند که دامنه سنی آنها بین ۵-۵۰ سال (میانگین سنی  $14/35 \pm 14/61$ ) متغیر بود. در بین مبتلایان به ژیاردیازیس در ۱۶ نفر (۵۱/۶ درصد) سابقه ای از اسهال مزمن وجود داشت. نتایج آزمایش PCR نشان داد که در بین مبتلایان به عفونت شیوع ژنوتیپ B ژیاردیا (۸۱ جفت بازی) در مقایسه با ژنوتیپ A این انگل (۱۴۸) جفت بازی) بیشتر بوده است (۵۱/۶ درصد در مقابل ۳۵/۵ درصد) (تصاویر شماره ۱ و ۲). اما علی‌رغم این مسئله فراوانی ژنوتیپ A انگل در بین مبتلایان به اسهال در مقایسه با ژنوتیپ B آن بیش از سه برابر بود (۶۲/۵ درصد در مقابل ۱۸/۷۵ درصد).



تصویر شماره ۱: نمایی از ژل رنگ آمیزی شده پلی اکریلامید مربوط به ژن TPI-A — ستون اول کنترل منفی — ستون دوم کنترل مارکر وزنی — ستون اول کنترل منفی — ستون دوم کنترل مثبت — ستون های ۳-۵ نمونه های ژنوتیپ A



تصویر شماره ۲: نمایی از ژل رنگ آمیزی شده پلی اکریلامید مربوط به ژن TPI-A — ستون اول کنترل منفی — ستون دوم کنترل مارکر وزنی — ستون اول کنترل منفی — ستون دوم کنترل مثبت — ستون های ۳-۵ نمونه های ژنوتیپ B

شامل ۳ میکرو لیتر از DNA انگل، ۰/۵ میکرو لیتر dNTP با غلظت mM ۰/۲۵، ۰/۲۵ میکرو لیتر از هر پرایمر با غلظت ۱۰ Pmol، ۰/۵ میکرو لیتر از Taq DNA polymeras (2.5 u) ۲/۵ میکرو لیتر از بافر PCR (10X) ۰/۵ میکرو لیتر از MgCl<sub>2</sub> با غلظت ۵۰ mM و ۱۵/۵ میکرو لیتر از آب مقطر دو بار تقطیر انجام شد. شرایط حرارتی دستگاه ترموسایکلر (ASTEC Germany) جهت انجام واکنش زنجیره‌ای پلی‌مراز بدین شرح بود: دناتوراسیون اولیه در دمای ۹۵ °C به مدت ۸ دقیقه، در ادامه ۳۵ سیکل با دمای ۹۴ °C به مدت ۳۵ ثانیه، ۶۶ °C به مدت ۳۵ ثانیه، ۷۲ °C به مدت ۵۰ ثانیه و در نهایت یک سیکل با دمای ۷۲ °C به مدت ۷ دقیقه انجام شد.

همچنین تکثیر ژن TPI-B، واکنش PCR با حجم نهایی ۲۵ میکرو لیتر شامل ۳ میکرو لیتر از DNA انگل، ۰/۵ میکرو لیتر dNTP با غلظت mM ۰/۲۵، ۰/۲۵ میکرو لیتر از هر پرایمر با غلظت ۱۰ Pmol، ۰/۵ میکرو لیتر از Taq DNA polymeras (2.5 u) ۲/۵ میکرو لیتر از بافر PCR (10X) ۱ میکرو لیتر از MgCl<sub>2</sub> با غلظت ۵۰ mM و ۱۵ میکرو لیتر از آب مقطر دو بار تقطیر با استفاده از ترموسایکلر (Corrbet Germany) با برنامه یک سیکل در دمای ۹۵ °C به مدت ۸ دقیقه، ۳۵ سیکل با دمای ۹۴ °C به مدت ۳۰ ثانیه، ۶۶ °C به مدت ۳۵ ثانیه، ۷۲ °C به مدت ۴۰ ثانیه و در نهایت یک سیکل با دمای ۷۲ °C به مدت ۶ دقیقه انجام شد.

در این مطالعه از سیویه استاندارد (ATCC: 30888TM) ژیاردیا به عنوان کنترل مثبت و از آب مقطر به عنوان کنترل منفی استفاده شد. همچنین با توجه به اندازه ژن مورد نظر و قدرت تفکیک قابل توجه ژل پلی‌اکریلامید برای ژن‌هایی با اندازه کمتر از ۱۰۰۰ bp در مقایسه با آگارز، محصول PCR بر روی ژل پلی‌اکریل آمید ۸ درصد مورد الکترفورز قرار گرفت و برای مشاهده باندها از رنگ آمیزی نیترات نقره استفاده شد.

مبلايان به ژيارديازيس توأم با نشانه‌های باليني مبتلا می‌گرددند اما برخی دیگر ممکن است بدون علامت باقی بمانند؟، به خوبی مشخص نیست. با این حال به نظر می‌رسد عوامل میزبانی و تفاوت در سویه انگل یا هر دو در بروز چنین تفاوتی دخیل باشند(۲۲). اگرچه مطالعات مختلف نشان داده است که ایزوله‌های ژيارديا دئودناليس که از نظر ریخت‌شناسی مشابه یکدیگر می‌باشند، از نظر فنوتیپی و ژنوتیپی با یکدیگر متفاوتند(۱۸)، اما غالباً ایزوله‌های ژيارديا دئودناليس انسانی و برخی از گونه‌های حيوانات اهلی را می‌توان در یکی از دو جمعیت ژنتیکی A یا B گروه‌بندی نمود(۲۴) ایزوله‌های متعلق به این دو جمعیت ژنتیکی در سرتاسر دنيا یافت می‌شوند، هر چند به نظر می‌رسد ایزوله‌های دو جمعیت ژنتیکی A و B در مقایسه با سایر جمعیت‌ها از پراکندگی كمتری برخوردار بوده، به کانون‌های اندميک محدود باشند(۲۵،۲۶).

به اعتقاد برخی از محققین چنان‌چه مطالعات صرفاً بر اساس نمونه‌گيري از بيماران مبتلا به اسهال انجام پذيرid ممکن است شيوع واقعي ژيارديا بوئره در مورد دو جمعیت ژنتیکی A و B كمتر از ميزان واقعي بر آورد شود(۱۶-۱۴) از سویي ارتباط بین وجود اسهال و ژنوتیپ ژيارديا الزاماً بدان معنی نیست که يك ژنوتیپ خاص داراي حدت بيشرتی در مقایسه با ایزوله‌هایي است که كمتر با اسهال در ارتباط می‌باشند(۱۶). با این حال نتایج به‌دست آمده از مطالعه حاضر با نتایج مطالعه Homan و همکاران(۲۰۰۱) در هلند(۸) و Gelanew و همکاران(۲۰۰۷) در اتيوبى(۹) مغایر است. به طوري که اين محققين ارتباط آشكاري را بين جمعیت ژنتیکی B ژيارديا دئودناليس و اسهال شديد و پايدار گزارش نمودند. در موارد اخير باید بر اين نکته تأكيد نمود که محققين مذكور صرفاً ژنوتیپ انگل در بيماراني را مورد مطالعه قرار دادند که همه داراي عاليم باليني بيماري بودند و در اين مطالعات صرفاً ارتباط بين ژنوتیپ انگل و شدت نشانه‌های بيماري مورد بررسی قرار گرفته است

با اين حال، در بين افراد بدون نشانه باليني اسهال، فراوانی ژنوتیپ B ژيارديا در مقایسه با ژنوتیپ A آن بسيار چشم‌گير بود (۸۶/۷ درصد در مقابل ۶/۷ درصد). در اين مطالعه در ۱۱ نفر از مبتلايان به ژيارديازيس که فقط ژنوتیپ A انگل را داشتند، ۱۰ بيمار (۹۱ درصد) به اسهال مزمن مبتلا بودند در حالی که از ۱۶ نفر مبتلاي به اين عفونت که فقط داراي ژنوتیپ B انگل بودند تنها در ۳ نفر (۱۸/۷۵ درصد) سابقه‌اي از اسهال مزمن وجود داشت (جدول شماره ۱). آزمون آماري فيشر نشان داد که در مبتلايان به ژيارديازيس بين اسهال و ژنوتیپ A انگل و عفونت‌های بدون علامت و ژنوتیپ B ژيارديا همبستگي آماري آشكاري وجود دارد ( $p < 0.05$ ).

جدول شماره ۱: فراوانی ژنوتیپ های ژيارديا دئودناليس در مبتلايان به ژيارديازيس در شهر كرد بر حسب وجود علامت باليني اسهال

ژنوتیپ انگل	مبلايان علامت دار (asehal)	مبلايان بدون علامت (asehal)	تعداد (درصد)	جمع (نفر)
ژنوتیپ A	(۶/۶)	(۶۵/۵)	۱۰	۱
ژنوتیپ B	(۸/۷)	(۱۸/۷۵)	۱۳	۳
ژنوتیپ A و B	(۶/۶)	(۱۸/۷۵)	۳	۱
جمع	(۱۰۰)	(۱۰۰)	۱۵	۲۱

## بحث

در مطالعه حاضر تجزيه و تحليل نتایج با استفاده از آزمون آماري دقیق فيشر نشان داد که بين ژنوتیپ A ژيارديا دئودناليس و اسهال همبستگي آماري آشكاري وجود دارد. اين نتایج با يافته‌های به‌دست آمده از مطالعات Alam و همکاران (۲۰۱۱)(۱۳) و Haque و همکاران (۲۰۰۵) و (۲۰۰۹) در بنگلادش (۱۵،۱۴)، مطالعه Real و همکاران (۲۰۰۲) در استراليا (۱۶) و همکاران (۲۰۰۴) در تركيه (۱۷)، Sahagun و همکاران (۲۰۰۸) در اسپانيا (۱۸)، Paintlia و همکاران (۱۹۹۹) در هند (۱۹) و اعتمادي و همکاران (۱۳۹۰) در ايران (۲۰) همخوانی دارد. نشانه‌های عفونت ژيارديا ي اي بسيار متغير است و برخی از مبتلايان بدون نشان دادن هر گونه عاليم باليني مشخصی می‌توانند کيسه‌های عفونت را از طريق مدفوع خود به محیط دفع کنند(۲۱). اين که چرا برخی از

واقعی ژنوتیپ های مختلف انگل در استان و تأثیرات آن در بروز علایم بالینی بیماری توصیه می شود مطالعات جامع تری و با حجم نمونه بیشتر انجام پذیرد.

## سپاسگزاری

تحقیق حاضر با حمایت های مالی حوزه معاونت پژوهشی دانشگاه علوم پزشکی شهر کرد و همکاری کارشناسان مرکز تحقیقات سلوی و ملکولی دانشگاه، کارشناسان آزمایشگاه های مراکز بهداشتی - درمانی و آزمایشگاه های خصوصی شهرستان شهر کرد و راهنمایی های تکنیکی خانم سارا غلامی دانشجوی مقطع کارشناسی ارشد رشته ژنتیک دانشگاه علوم پزشکی مشهد به انجام رسیده است. لذا بدین وسیله از همکاری های ارزنده آنان تقدیر می نماییم.

و در مورد ارتباط بین ژنوتیپ ژیارديا و وجود یا عدم وجود نشانه های بالینی تحقیقی انجام نشده است(۸).

## محدودیت های مطالعه

دشواری تهیه کیت استخراج DNA و Setup نمودن آزمایش واکنش زنجیره ای پلی مراز از عملده ترین محدودیت های مطالعه حاضر محاسب می شد. هر چند که تحقیق حاضر نشان داد که در شهرستان شهر کرد غالباً ژنوتیپ A ژیارديا دئودنالیس با نشانه های بالینی از قبیل اسهال همراه است اما به نظر می رسد در این منطقه نیز همانند بسیاری از سایر نقاط جهان ژنوتیپ B ژیارديا دئودنالیس در مقایسه با ژنوتیپ A آن از فراوانی بیشتری برخوردار باشد. با این حال به رغم مشخص شدن نقش ژنوتیپ ژیارديا در بروز اسهال در مطالعه حاضر، برای قضایت بهتر در مورد پراکنش

## References

- Adam RD. The Giardia lamblia genome. *Int J Parasitol* 2000; 30(4): 475-484.
- Thompson RCA. Towards a better understanding of host specificity and the transmission of *Giardia*: the impact of molecular epidemiology. In: *Giardia: The cosmopolitan parasite*. Olsen BE, Olsen ME, Wallis PM, (eds). Wallingford, UK and New York: CABI Pub; 2002. p. 55-69.
- Shafie R, Jahani MR, Rezaeian M, Amini M, Metvayi AR, Mirahmadi H, et al. *Giardia lamblia* and *Helicobacter pylori* Coinfection. *Iranian J Publ Health* 2009; 38(1): 127-130.
- Caccio SM, Lalle M, Reck E, Pozio E. Insights into the molecular detection of *Giardia duodenalis*: Implications for Epidemiology. In: *Giardia and Cryptosporidium* from Molecules to Disease. Ortega-Pierres G, Simone M, Cacciò R, Fayer R, Mank TG, Smith HV, et al, (eds). Wallingford, Oxfordshire, UK; Cambridge, MA: CABI; 2009. p. 81.
- Ajjampur SS, Sankaran P, Kannan A, Sathyakumar K, Sarkar R, Gladstone BP, et al. *Giardia duodenalis* assemblages associated with diarrhea in children in South India identified by PCR-RFLP. *Am J Trop Med Hyg* 2009; 80(1): 16-19.
- Fallah E, Nahavandi KH, Jamali R, Mahdavi B, Asgharzadeh M. Genetic characterization of *Giardia intestinalis* strains from patients having sporadic Giardiasis by using PCR assay. *J Med Sci* 2008; 8(3): 310-315.
- Nahavandi KH, Fallah E, Asgharzadeh M, Mirsamadi N, Mahdavipour B. Glutamate dehydrogenase and triose-phosphate-isomerase coding genes for detection and genetic characterization of *Giardia lamblia* in human feces by PCR and PCR-RFLP. *Turk J Med Sci* 2011; 41(2): 283-289.
- Homan WL, Mank TG. Human giardiasis: genotype linked differences in clinical symptomatology. *Int J Parasitol* 2001; 31(8):



- 822-826.
9. Gelanew T, Lalle M, Hailu A, Pozio E, Caccio SA. Molecular characterization of human isolates of *Giardia duodenalis* from Ethiopia. *J Acta Trop* 2007; 102(2): 92-99.
  10. Babaei Z, Oormazdi H, Rezaie S, Rezaeian M, Razmjou E. *Giardia intestinalis*: DNA extraction approaches to improve PCR results. *Exp Parasitol* 2011; 128(2): 159-162.
  11. Fallah E, Hatam Nahavandi K, Jamali R, Mahdavi poor B, Asgharzadeh M., Molecular identification of *Giardia duodenalis* isolates from human and animal reservoirs by PCR RFLP. *J Biol Sci* 2008; 8(5): 896-901.
  12. Tungtrongchitr A, Sookrung N, Indrawattana N, Kwangsi S, Ongrotchanakun J, Chaicumpa W. *Giardia intestinalis* in Thailand: Identification of Genotypes. *J Health Popul Nutr* 2010; 28(1): 42-52.
  13. Alam M, Ilias M, Siddique M, Kabir M, Nazib F, Musawvir Khan M. Genotype specific detection of *Giardia lamblia* in stool samples of diarrhoeal and non diarrhoeal patients in Dahka, Bangladesh. *Dhaka Uni J Biol Sci*, North America 2011; 20(2): 183-189.
  14. Haque R, Roy S, Kabir M, Stroup SE, Mondal D, Houpt ER. *Giardia* assemblage A infection and diarrhea in Bangladesh. *J Infect Dis* 2005; 192(12): 2171-2173.
  15. Haque R, Mondal D, Karim A, Molla IH, Rahim A, Faruque AS, et al. Prospective case-control study of the association between common enteric protozoal parasites and diarrhea in Bangladesh. *Clin Infect Dis* 2009; 48(9): 1191-1197.
  16. Read C, Walters J, Robertson ID, Thompson RC. Correlation between genotype of *Giardia duodenalis* and diarrhoea. *Int J Parasitol* 2002; 32(2): 229-231.
  17. Aydin AF, Besirbellioglu BA, Avci IY, Tanyuksel M, Araz E, Pahsa A. Classification of *Giardia duodenalis* parasites in Turkey into groups A and B using restriction fragment length polymorphism. *Diagn Microbiol Infect Dis* 2004; 50(2): 147-151.
  18. Sahagun J, Clavel A, Goni P, Seral C, Llorente MT, Castillo FJ, et al. Correlation between the presence of symptoms and the *Giardia duodenalis* genotype. *Eur J Clin Microbiol* 2008; 27(1): 81-83.
  19. Paintlia AS, Mahajan RC, Chakraborti A, Sehgal R, Ganguly NK. Characterization of *Giardia lamblia* groups A and B from North India by isoenzyme and random amplified polymorphic DNA analysis. *Parasitol Res* 1999; 85(6): 510-512.
  20. Etemadi S, Zia-Ali N, Babai Z, Fasihi Harandi M, Zia-Ali A, Salari Z, et al. The correlation between clinical signs and genotype of *Giardia duodenalis* isolated from patients with Giardiasis in Kerman city. *J Kerman Uni Med Sci* 2011; 18(4): 330-338 (Persian).
  21. Farthing MJ. The molecular pathogenesis of giardiasis. *J Pediatr Gastroenterol Nutr* 1997; 24(1): 79-88.
  22. Thompson RC. Giardiasis as a reemerging infectious disease and its zoonotic potential. *Int J Parasitol* 2000; 30(12-13): 1259-1267.
  23. Homan WL, van Enckevort FH, Limper L, van Eys GJ, Schoone GJ, Kasprzak W, et al. Comparison of *Giardia* isolates from different laboratories by isoenzyme analysis and recombinant DNA probes. *Parasitol Res* 1992; 78(4): 316-323.
  24. Mayrhofer G, Andrews RH, Ey PL, Chilton NB. Division of *Giardia* isolates from humans into two genetically distinct assemblages by electrophoretic analysis of enzymes encoded at 27 loci and comparison

- with *Giardia muris*. Parasitology 1995; 111 (Pt 1): 11-17.
25. Thompson RC, Meloni BP. Molecular variation in *Giardia*. Acta Trop 1993; 53(3-4): 167-184.
26. Monis PT, Andrews RH, Mayrhofer G, Ey PL. Genetic diversity within the morphological species *Giardia intestinalis* and its relationship to host origin. Infect Genet Evol 2003; 3(1): 29-38.